

特性曲線法による二次元不定流の計算

神戸大学工学部

正員 松梨順三郎

神戸大学工学部

学生員 ○田坂昌彦

1. まえがき

二次元不定流は空間二変数の双曲型連立偏微分方程式で、これは特性曲線法によって数値積分することができる。特性曲線法はそれ自体問題の物理現象を反映しうる特色をもつている。本研究は、特性曲線法により固定格子点の手法に従ってその二次元潮流場への適用を試みたものである。

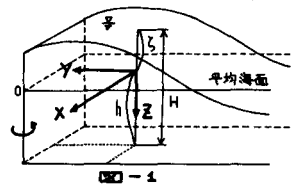
2. 特性曲線法

(1) 潮流解析の基礎方程式 静水面上に原点をとり、鉛直下方にZ軸をとったN-S式を鉛直積分すると、

$$\frac{\partial z}{\partial t} + u \frac{\partial z}{\partial x} + v \frac{\partial z}{\partial y} + H \frac{\partial u}{\partial x} + H \frac{\partial v}{\partial y} + u \cdot (S_o)_x + v \cdot (S_o)_y = 0 : \text{Eq. of Continuity} \quad (1)$$

$$g \frac{\partial z}{\partial x} + \frac{\partial u}{\partial t} + u \frac{\partial u}{\partial x} + v \frac{\partial u}{\partial y} + g(S_f)_x - \Omega \cdot v - W_x = 0 \quad \} : \text{Eqs. of Motion} \quad (2)$$

$$g \frac{\partial z}{\partial y} + \frac{\partial v}{\partial t} + u \frac{\partial v}{\partial x} + v \frac{\partial v}{\partial y} + g(S_f)_y + \Omega \cdot u - W_y = 0 \quad \} \quad (3)$$



ここに文字は図-1の様であり、 z : 潮位、 u, v : x, y 方向の流速、 Ω : コリオリ係数、 W_x, W_y : 単位質量当たりの風力、 $(S_o)_x, (S_o)_y$: 海底勾配、 $(S_f)_x, (S_f)_y$: 摩擦係数である。なお添字は X -成分、 Y -成分を表わす。

(2) 特性曲線 上記(1),(2),(3)式の左辺をそれぞれ L_1, L_2, L_3 で表わし次の線形結合を考える。¹⁾

$$L = L_1 + \lambda_2 L_2 + \lambda_3 L_3 = L_1 + \left(\frac{C}{g} \cos \theta\right) L_2 + \left(\frac{C}{g} \sin \theta\right) L_3 = 0 \quad (4)$$

ここに 特性曲線を次式で定義し、

$$\frac{dx}{dt} = u + C \cos \theta, \quad \frac{dy}{dt} = v + C \sin \theta; \quad C \quad (5)$$

微分演算子 $\frac{D}{Dt} = \frac{\partial}{\partial t} + \frac{dx}{dt} \frac{\partial}{\partial x} + \frac{dy}{dt} \frac{\partial}{\partial y} = \frac{\partial}{\partial t} + (u + C \cos \theta) \frac{\partial}{\partial x} + (v + C \sin \theta) \frac{\partial}{\partial y}$ を用いると、(4)式はこの特性曲線 C_θ に沿って次式のように変形される。

$$\frac{D \zeta}{Dt} + \frac{C}{g} \cos \theta \frac{Du}{Dt} + \frac{C}{g} \sin \theta \frac{Dv}{Dt} = -H \cdot P - F_r \quad (6)$$

ここに $P = \frac{\partial u}{\partial x} \sin^2 \theta - (\frac{\partial u}{\partial y} + \frac{\partial v}{\partial x}) \sin \theta \cos \theta + \frac{\partial v}{\partial y} \cos^2 \theta$, $F_r = F_s + F_f + F_c + F_w$, $F_s = u \cdot (S_o)_x + v \cdot (S_o)_y$,

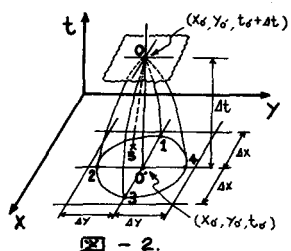
$F_f = C \cdot [(S_f)_x \cos \theta + (S_f)_y \sin \theta]$, $F_c = -\frac{C}{g} \Omega (v \cos \theta - u \sin \theta)$, $F_w = -\frac{C}{g} (W_x \cos \theta + W_y \sin \theta)$ である。基礎方程式の線形結合は一次元流れでは特性曲線 C_\pm に沿って方向微分の形にまとまる。一方、二次元流れでは(6)式に示すように右辺に偏微分項を含んでいる。これらの項を消去し、関係式を開じた形で求めるために(1)式を変形して次式を追加する。ここに、 $\frac{D}{Dt} = \frac{\partial}{\partial t} + u \frac{\partial}{\partial x} + v \frac{\partial}{\partial y}$ とする。

$$\frac{Dz}{Dt} = -H \left(\frac{\partial u}{\partial x} + \frac{\partial v}{\partial y} \right) - u \cdot (S_o)_x - v \cdot (S_o)_y = -H \left(\frac{\partial u}{\partial x} + \frac{\partial v}{\partial y} \right) - F_s \quad (7)$$

(3) 差分化 さて、(6)式には未知量 z, u, v とそれらの偏微分項が含まれており、(6)と(7)式より z, u, v を求めるためには、 θ は $0, \frac{\pi}{2}, \pi, \frac{3\pi}{2}$ の四方向をとればよいことになる。それらの結果に差分近似を用いるヒ次の四つの関係式を得る。

$$(\zeta_o - \zeta_1) + \frac{C}{g} (u_o - u_1) = -At H_o \left(\frac{\partial v}{\partial y} \right)_o - At (F_{r1})_o, \quad \theta = 0 \quad (8)$$

$$(\zeta_o - \zeta_2) + \frac{C}{g} (v_o - v_2) = -At H_o \left(\frac{\partial u}{\partial x} \right)_o - At (F_{r2})_o, \quad \theta = \frac{\pi}{2} \quad (9)$$



$$(\zeta_0 - \zeta_3) - \frac{C_0}{g} (U_0 - U_3) = -\Delta t H_0 (\frac{\partial v}{\partial y})_0 - \Delta t (F_{r3})_0, \quad \theta = \pi \quad (10)$$

$$(\zeta_0 - \zeta_4) - \frac{C_0}{g} (U_0 - U_4) = -\Delta t H_0 (\frac{\partial u}{\partial x})_0 - \Delta t (F_{r4})_0, \quad \theta = \frac{3\pi}{2} \quad (11)$$

また、(7)式を0点を通過する流線に沿って差分化すると、

$$(\zeta_0 - \zeta_5) = -\Delta t H_0 (\frac{\partial u}{\partial x} + \frac{\partial v}{\partial y})_0 - \Delta t (F_s)_0 \quad (12)$$

以上、(8)～(12)式の五個の式について含まれる未知量は、 $\zeta_0, U_0, U_0, (\frac{\partial u}{\partial x})_0, (\frac{\partial v}{\partial y})_0$ の五個である。

最初に $(\frac{\partial u}{\partial x})_0, (\frac{\partial v}{\partial y})_0$ を消去して偏微分項を除くと未知量 ζ_0, U_0, U_0 について解くことができる。添字は図-2の各点を示している。

3. 計算手法

固定点法は、特性曲線の交点を格子点上にもってこようとする方法である。特性曲線の出発する位置を仮定し、繰り返し計算によって収束させるのである。

(1) 最初の計算では、特性曲線と既知時間平面との交点 1, 2, 3, 4 が各格子点にあるものとし、POINT 5 は 0' にあるとして 0 点の ζ, U, V を求める。

図-2 及び 図-3 この場合、各特性曲線は 0 点で一致して交わらなければいけないかもしれないが求めたら U, V は 0 点での値とする。

(2) 求めた 0 点の ζ, U, V を用いて 0 点より 既知時間平面に特性曲線 (5) 式を使用) 及び流線をおろし、新たに 1, 2, 3, 4 及び POINT 5 の位置を決める。POINT 1～5 の ζ, U, V を格子点の ζ, U, V より補間で求める。図-4

(3) (2) で述べた POINT 1～5 より 特性曲線及び流線を出し、再び 0 点での ζ, U, V を求める。

(4) (2) と (3) の繰り返しにより解を収束さす。

4 数値計算

本計算のモデルとして大阪湾をとりあげ、大潮 ($M_2 + S_2$) 時の計算を試みる。格子間隔 2 Km, 時間ステップ 30 秒とし、初期条件、自由境界は参考文献 (2) を参照した。固定境界はもよりの海の中の値で外挿し法線方向の流速は零とした。

5 計算結果

大阪湾中央部において計算開始後 4 時間 (時間ステップ 480) で干潮位となり、この時の潮位は -23 cm ～ -26 cm である。また、これから 20 分後に友島水道で北流の最大値 134.4 cm/sec、さらに 20 分後に明石海峡の東流の最大値 132.4 cm/sec が得られる。

また、図-5 は潮流の第 1 次近似計算である。流向模様に疑問があるが、現在台形則による第 2 次近似計算をすすめている。その結果は、講演時に発表する。

[参考文献] 1) C. Lai; "Some Computational Aspects of one- and two-Dimensional Unsteady Flow Simulation by the Method of Characteristics."

INTERNATIONAL SYMPOSIUM ON Unsteady flow in open channels April 12th-15th, 1976.

2) 大阪湾潮流高潮計算報告書 運輸省第三港湾建設局神戸調査設計事務所 昭和 46 年 6 月。

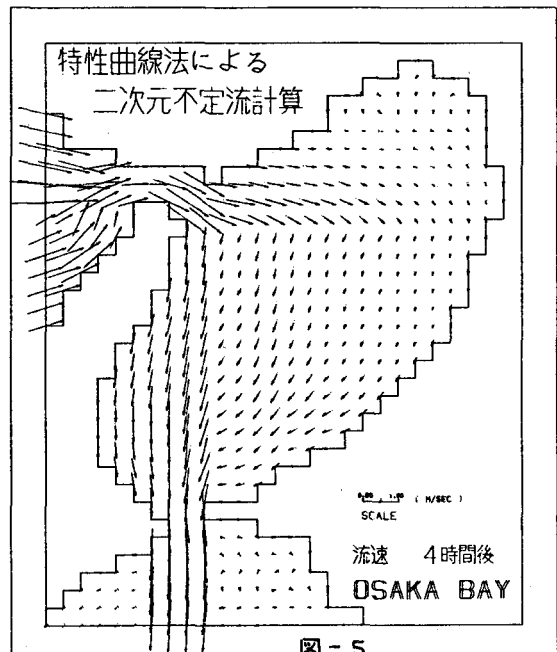
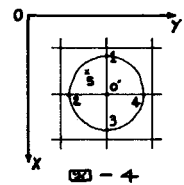
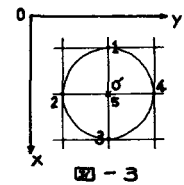


図-5